

平成21年3月17日  
原子分子データ活動に関する研究会  
原子力機構東京事務所(東京・千代田区)

# 原子・分子・イオンの衝突に関する調査 低電離 W イオンの電荷変化断面積

京都大学大学院工学研究科 伊藤秋男

委託研究 原子・分子・イオンの衝突に関する調査  
低電離 W イオンの電荷変化断面積(V)

(文献調査・データシート作成)

(電荷変化断面積測定)

平成 6 年度まで



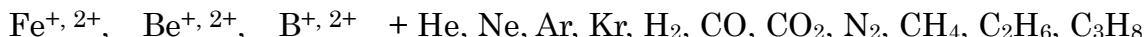
平成 7~9 年度 低電離金属イオンの電荷変化断面積(I)(II)(III)



平成 10~12 年度 低電離 Ni イオンの電荷変化断面積(I)(II)(III)



平成 13~15 年度 低電離 Fe イオンの電荷変化断面積(I)(II)(III)



平成 16~20 年度 低電離 W イオンの電荷変化断面積(I)(II)(III)(IV)(V)



文献調査 → データサーバ構築 (2006 年 10 月プロトタイプ稼働), 断面積測定 → 国際会議・論文発表

- Makoto Imai,  
[Recent charge transfer cross section measurements for fusion related materials](#),  
June 9 – 13, 2008, IAEA Headquarter, Vienna, Austria.
- M. Imai , M.V. Khoma, O.M. Karbovanets, Y. Kikuchi, M. Saito, Y. Haruyama, M.I. Karbovanets, A. Itoh, R.J. Buenker,  
[Charge transfer processes in collisions of slow highly charged ions with polar molecules CO and C<sub>3</sub>H<sub>8</sub>](#) ,  
The 14th International Conference on the Physics of Highly Charged Ions (HCI 2008),  
September 1 – 5, 2008, Chofu, Japan.
- Makoto Imai , Akio Itoh, and Hirotaka Kubo,  
[Production and compilation of charge changing cross sections of ion·atom and ion·molecule collisions](#),  
The 6th International Conference on Atomic and Molecular Data and Their Applications (ICAMDATA 2008),  
October 28 – 31, 2008, Beijing, China.
- Makoto IMAI,  
[Electron Capture Cross Section for W<sup>+</sup> and W<sup>2+</sup> Ions Colliding with Gaseous Targets & Compilation of Charge Changing Cross Section of Energetic Ion Collisions](#),  
March 11, 2009, NFRI, Daejeon, Korea.  
March 12, 2009, KAERI, Daejeon, Korea. (informal round-table)  
[Electron Capture Cross Section for W<sup>+</sup> and W<sup>2+</sup> Ions Colliding with Gaseous Targets](#),  
March 12, 2009, 漢陽大學校, 安山, Korea. (informal round-table)
- M. V. Khoma, M. Imai, O. M. Karbovanets, Y. Kikuchi, M. Saito, Y. Haruyama, M. I. Karbovanets, I. Yu. Kretinin,  
A. Itoh, R. J. Buenker,  
A simple theoretical approach of electron capture processes in collisions of atomic ions with polar targets,  
Chemical Physics 352 (2008) pp. 142 – 146 . [Be<sup>2+</sup> + CO, B<sup>2+</sup> + CO, Be<sup>2+</sup> + C<sub>3</sub>H<sub>8</sub> single electron capture](#)
- M. V. Khoma, M. Imai, O. M. Karbovanets, Y. Kikuchi, M. Saito, Y. Haruyama, M. I. Karbovanets, I. Yu. Kretinin,  
A. Itoh, R. J. Buenker,  
Charge transfer processes in collisions of slow highly charged ions with polar molecules CO and C<sub>3</sub>H<sub>8</sub>,  
Journal of Physics: Conf. Ser., to be published. [Be<sup>2+</sup> + CO, B<sup>2+</sup> + CO, Be<sup>2+</sup> + C<sub>3</sub>H<sub>8</sub> double electron capture](#)

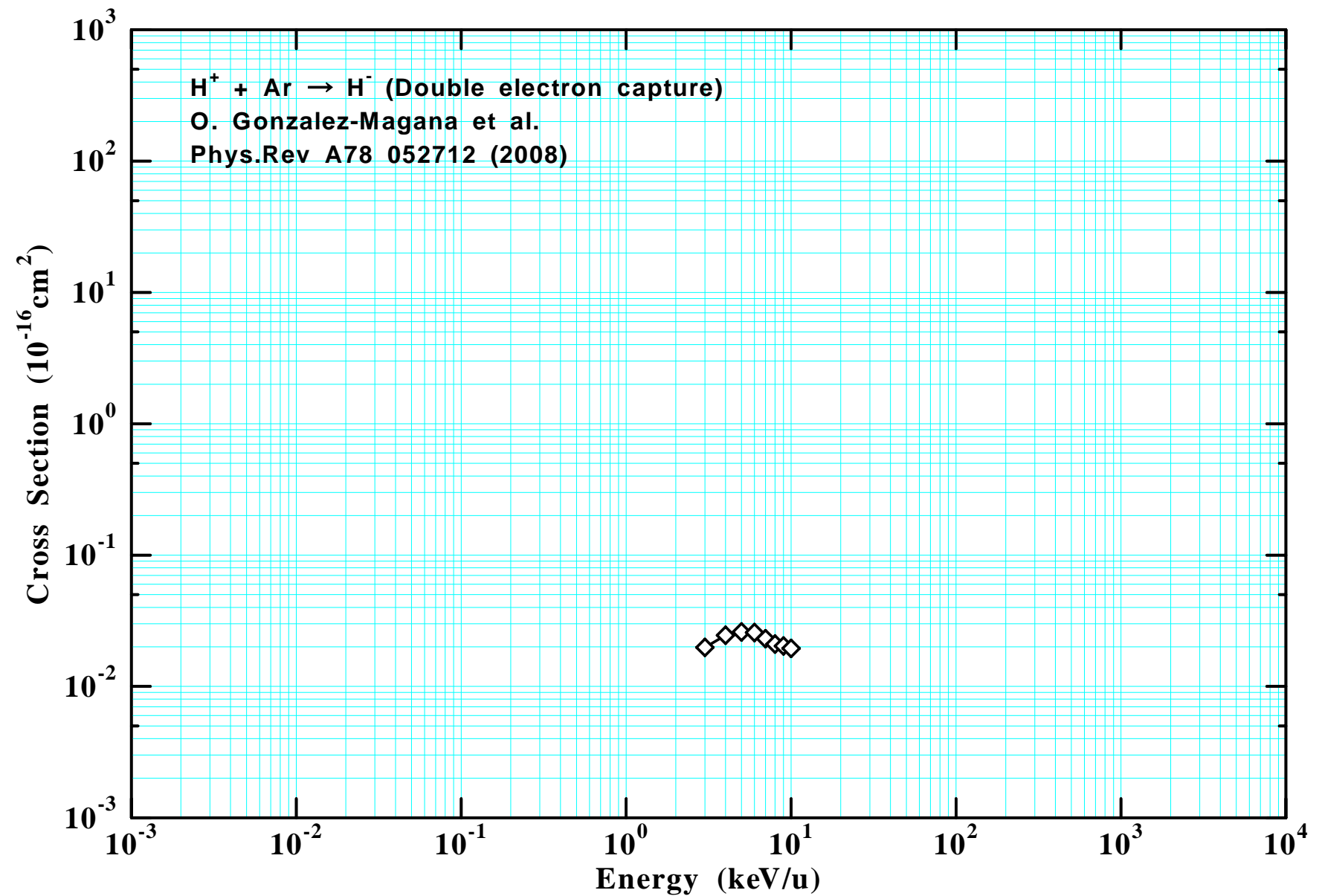
## 文献調査・データシート作成

抽出文献数

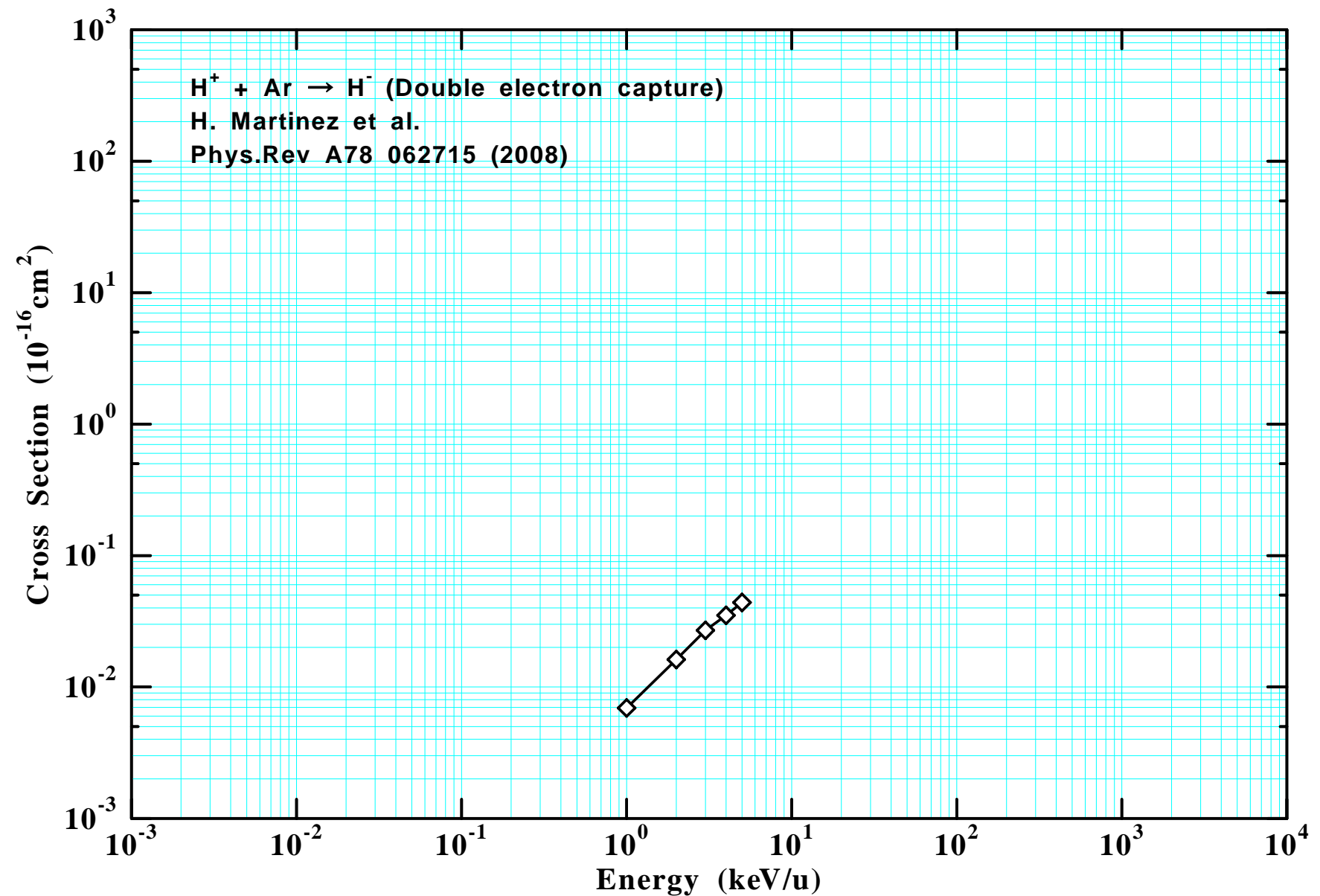
対象年	全断面積	部分断面積	その他	計
1983～1990	73			73
1991	20			20
1992	12	12		24
1993	7	4		11
1994	10	8		18
1995	10	6	4	20
1996	7	2	2	11
1997	12	1	2	15
1998	5	6	1	12
1999	6	4	5	15
2000	6	1	3	10
2001	18	2	5	25
2002	2	2	7	11
2003	12	1	12	25
2004	12	1	8	21
2005	16	4	19	39
2006	5	2	11	18
2007	13	2	4	19
2008	6	0	11	17
計	252	58	94	404

調査対象学術雑誌

- Atomic Data and Nuclear Data Tables
- The European Physical Journal D
- Europhysics Letters
- JETP
- JETP Letters
- Journal of Physical and Chemical Reference Data
- Journal of the Physical Society of Japan
- Journal of Physics B: Atomic, Molecular and Optical Physics
- Nuclear Instruments and Methods in Physics Research sect. A
- Nuclear Instruments and Methods in Physics Research sect. B
- Physica Scripta
- Physical Review A
- Physics Letters A

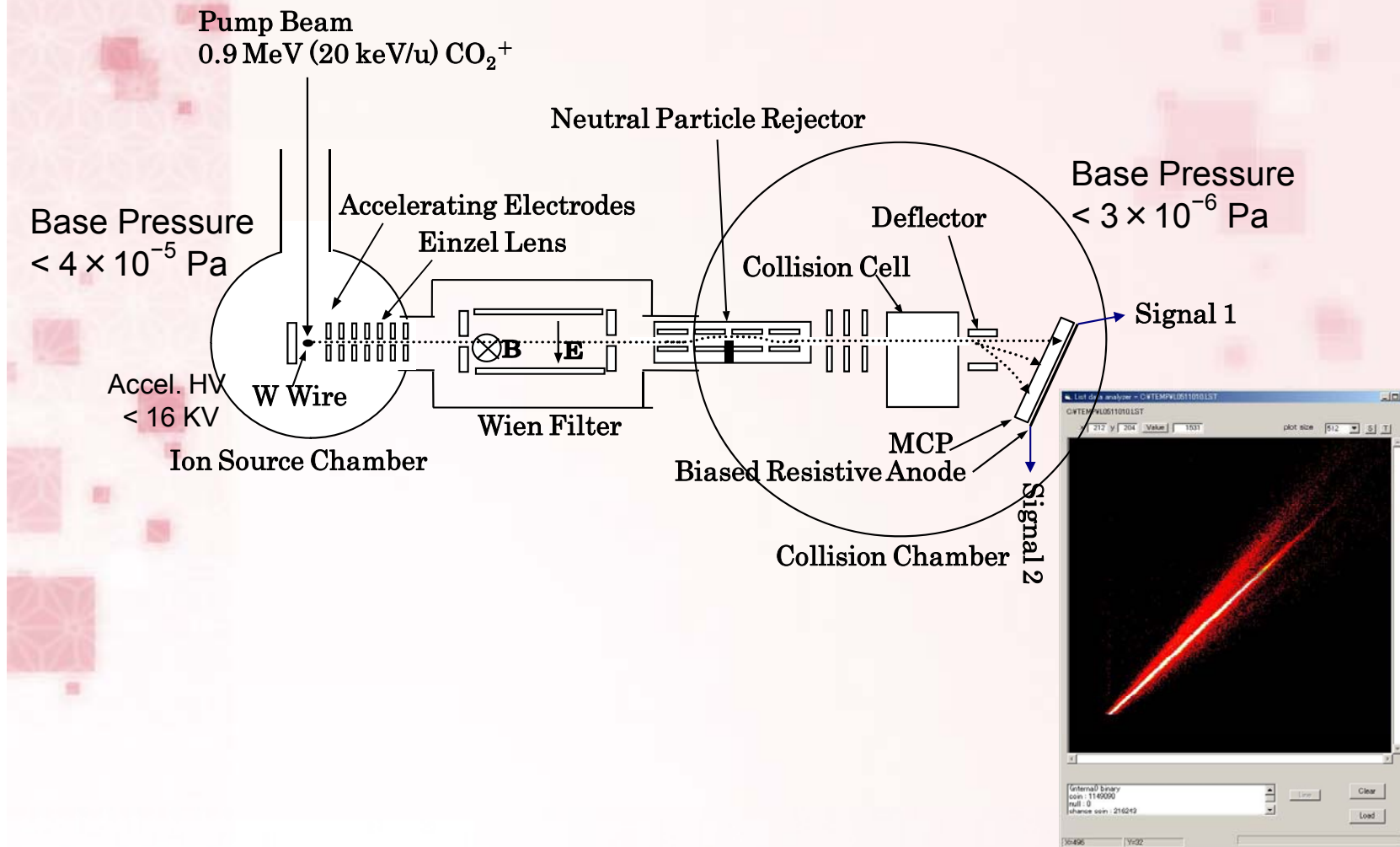


文献調査・データシート作成

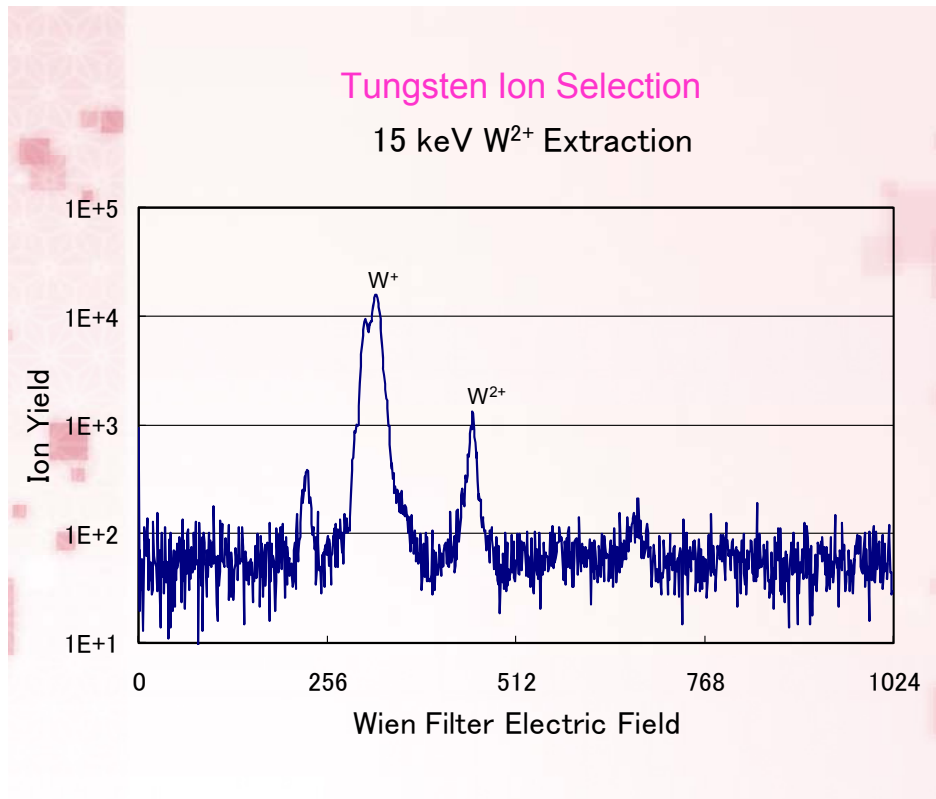
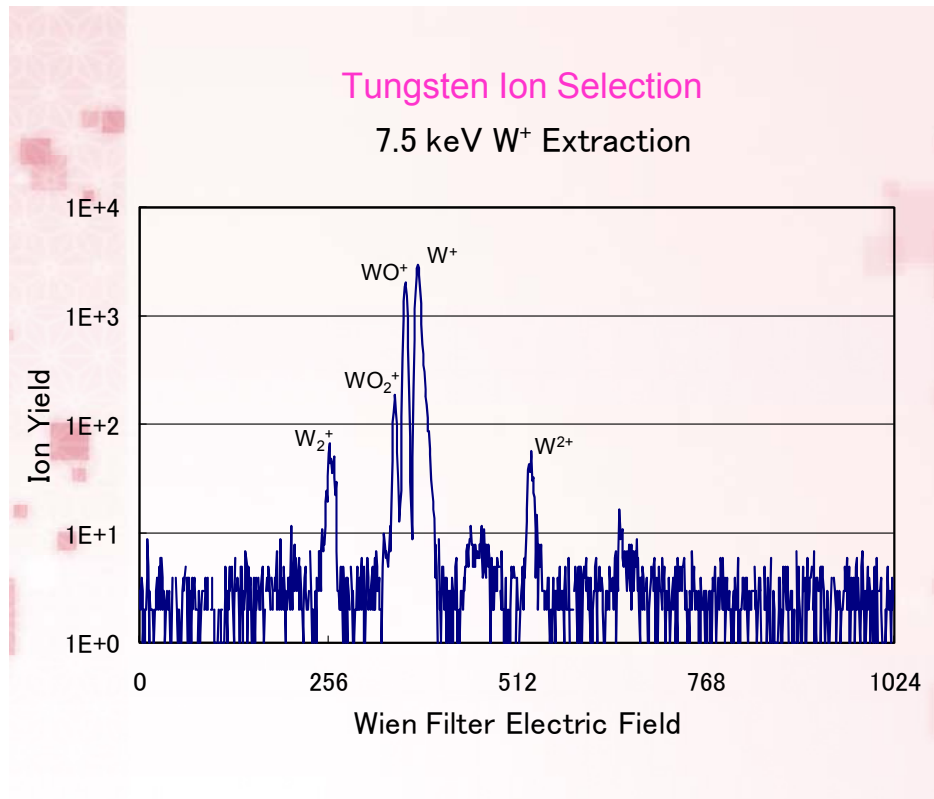


断面積測定－実験装置

The Experimental Apparatus



断面積測定－実験装置



## How to Derive Cross Sections

Rate equation for  $W^{i+}$  intensity  $\frac{dF_i(\pi)}{d\pi} = \sum_{j \neq i} [F_j(\pi)\sigma_{ji} - F_i(\pi)\sigma_{ij}],$

$$\sum_i F_i(\pi) = 1,$$

where

$F_i(\pi)$ : Relative Intensity of  $W^{i+}$  ion

$\pi$ : Target Thickness (= Density  $\times$  Length in /cm<sup>2</sup>)

$\sigma_{ji}$ : Charge Transfer Cross Section (cm<sup>2</sup>)  $W^{j+} \rightarrow W^{i+}$

Under the Single Collision Condition, this simultaneous equation

reduces to  $\frac{I_0}{I_2 + I_1 + I_0} = \sigma_{10}\pi, \quad \frac{I_2}{I_2 + I_1 + I_0} = \sigma_{12}\pi,$

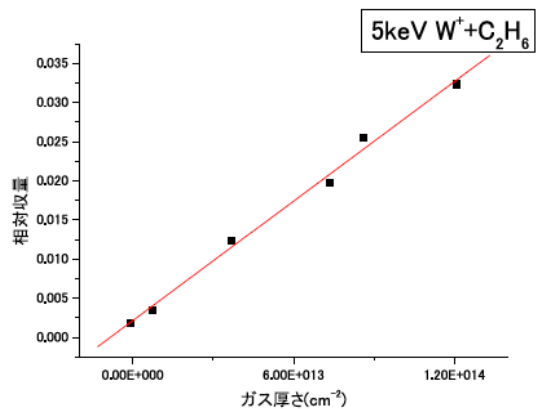
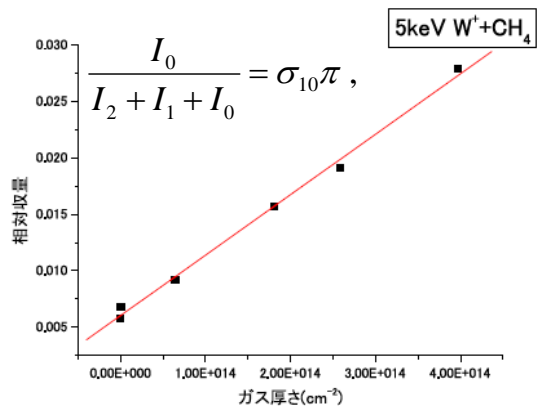
where

$I_2, I_1, I_0$ : Intensity of  $W^{2+}$ ,  $W^+$  and  $W^0$ , respectively.

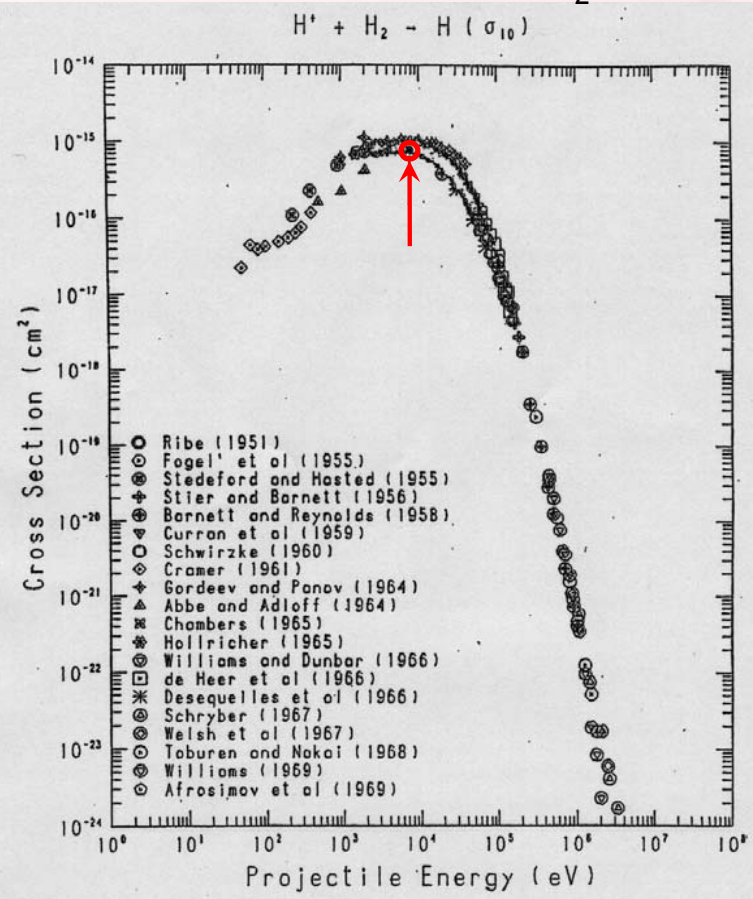
## 断面積測定

### Data Processing

Growth Curve for 5 keV W<sup>+</sup>

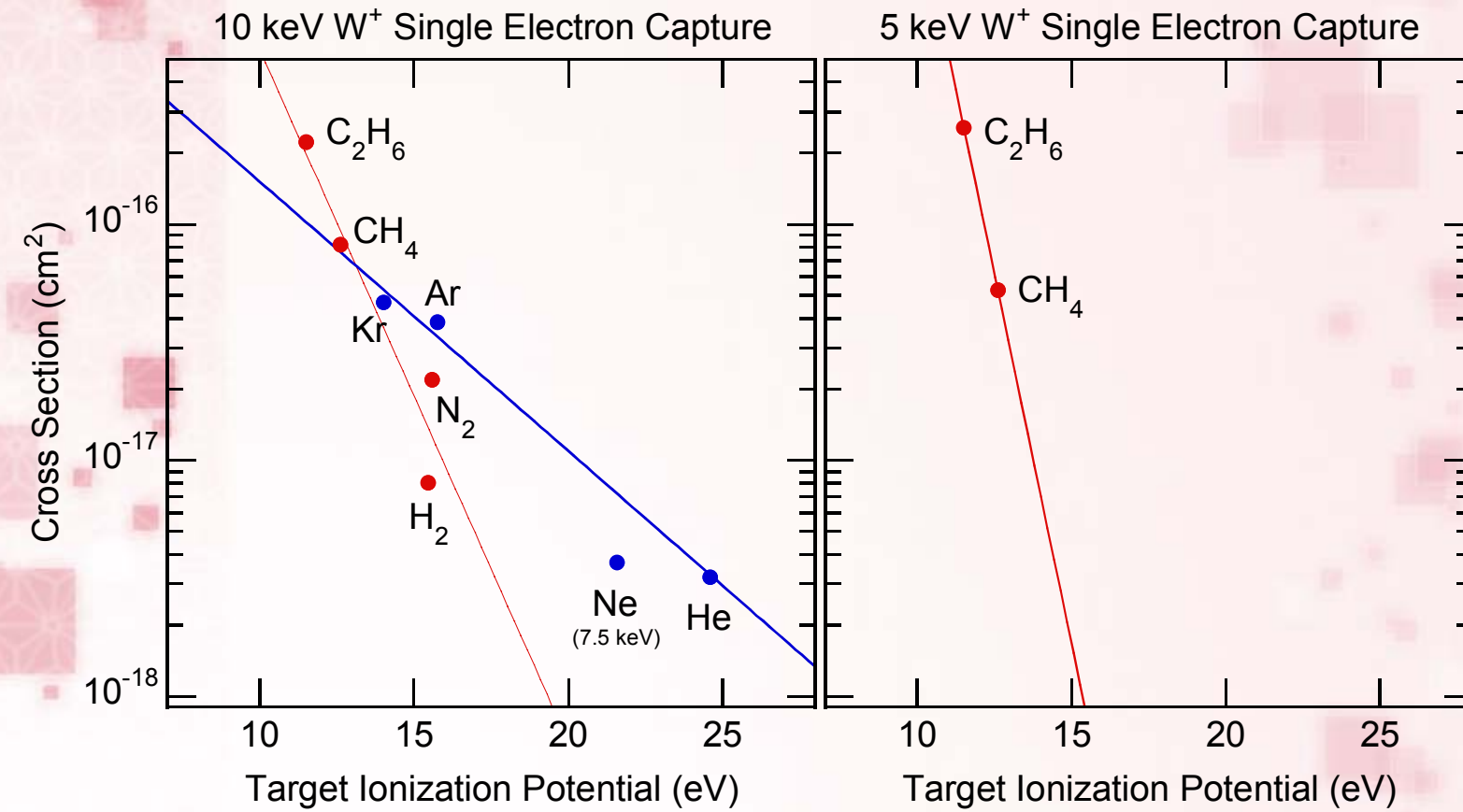


Bench mark for 7.5 keV H<sup>+</sup> + H<sub>2</sub> collision



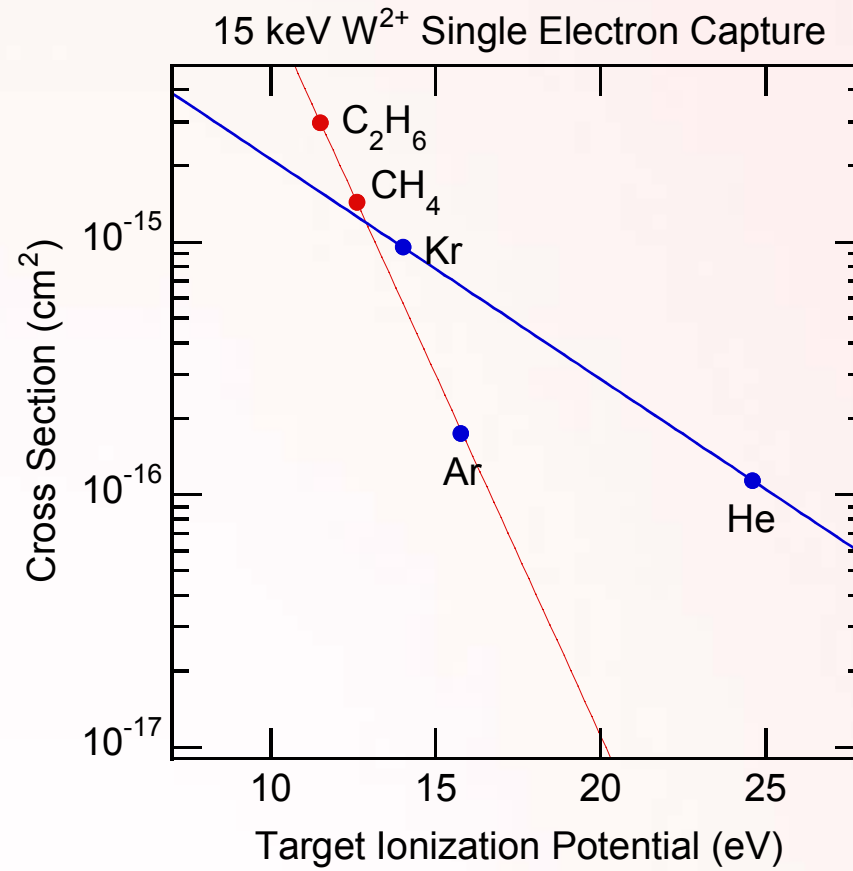
断面積測定結果

Single Electron Capture Cross Sections for W<sup>+</sup> Ions  
on Gas Targets at 10 and 5 keV (54 and 27 eV/u)

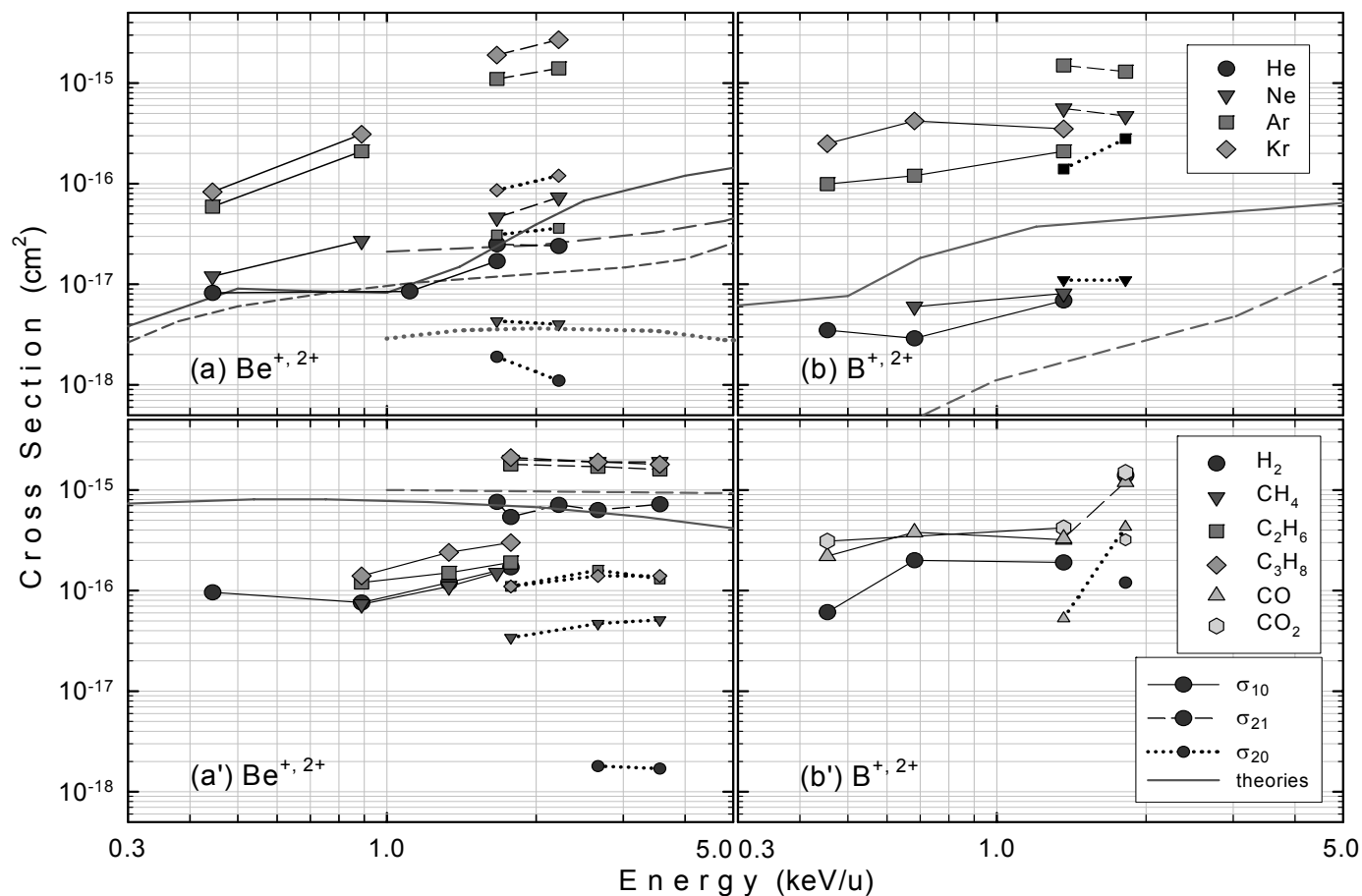


断面積測定結果

Single Electron Capture Cross Sections for W<sup>2+</sup> Ions  
on Gas Targets at 15 keV (82 eV/u)



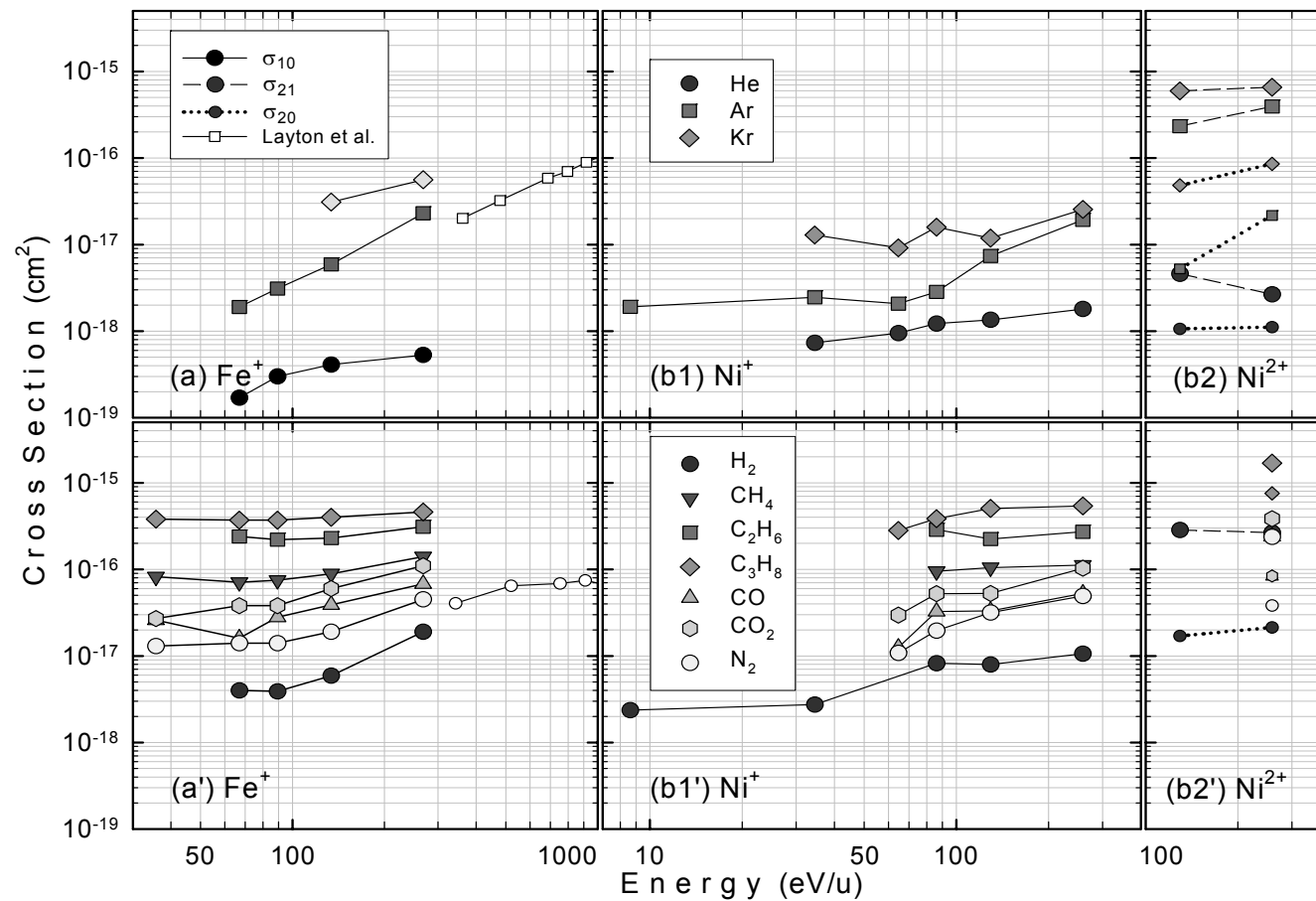
断面積測定結果



Single and double electron capture cross sections  $\sigma_{10}$ ,  $\sigma_{21}$  and  $\sigma_{20}$  for Be and B ions.

J. Plasma Fusion Res. SERIES Vol.7, pp.323-326.

断面積測定結果



Single and double electron capture cross sections  $\sigma_{10}$ ,  $\sigma_{21}$  and  $\sigma_{20}$  for Fe and Ni ions.

J. Plasma Fusion Res. SERIES Vol.7, pp. 323-326.